

## Konzepte für zukünftige Hadroncollider

Ziel: Präzisions teste des Standardmodells, Suche nach neuen Teilchen oder Wechselwirkungen.

Methode: Untersuchung von Kollisionen hochenergetischer Teilchen

Teilchen, die man zusammenstoßt, müssen geladen sein, damit man sie beschleunigen kann, und sie müssen stabil sein, damit sie in einem Beschleuniger gespeichert werden können.

→ Nur zwei Teilchen kommen in Frage:

- Elektronen (und Positronen),
- Protonen (und Antiprotonen).

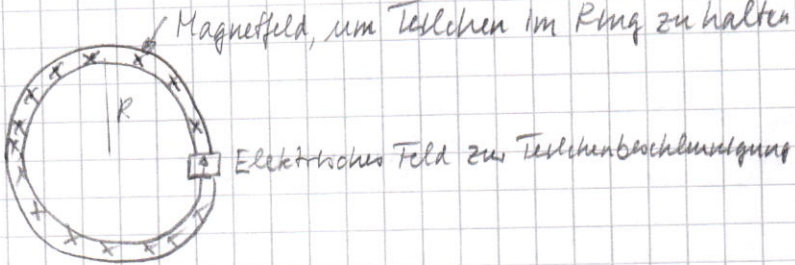
Teilchen	Vorteile	Nachteile
$e^\pm$	$e^\pm$ elementare Teilchen. Wenig Synchrotronstrahlung	Erzeugung von viel Synchrotronstrahlung in Ringbeschleunigern
$p(p)$	dank hoher Teilchenmasse. Beschleunigung zu sehr hohen Energien in Ringbeschleunigern möglich.	Proton kein elementares Teilchen. Kollision der Partonen.

Einige Möglichkeiten für Kollisionen bei Schwerpunktenergien  $\gg 10 \text{ TeV}$ :

pp-Kollisionen.

pp kann gewünscht, da Partonenluminositäten von pp und  $p\bar{p}$  ähnlich sind und viel geringere Luminositäten bei  $p\bar{p}$  als bei pp erreicht werden können, da es schwierig ist, hinreichend viele  $\bar{p}$  zu erzeugen und zu speichern.

## Grundprinzip eines Spurkettengitters / Colliders



Größe des Magnetfeldes  $B$  und Radius des Rings bestimmen die maximal erreichbare Energie bzw. den maximal erreichbaren Impuls:

$$p = eBR.$$

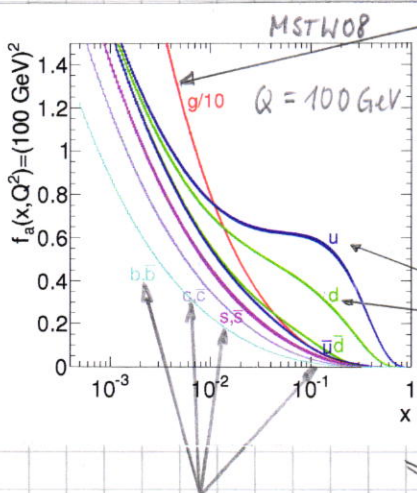
LHC:  $B = 8\text{ T}$ ,  $R = 4,3\text{ km}$ .

$$\Rightarrow p \approx 10\text{ TeV}/c$$

Verdopplung der Strahlergie durch Verdoppelung von  $R$  grundsätzlich möglich (sogenannter HE-LHC).

FCC (Future Circular Collider):  $B = 16\text{ T}$  mit Nb3Sn - Supraleiter statt Nb-Ti in den Strahlführungsmagneten, Tunnel mit 80-100 km Umfang.  $\Rightarrow \sqrt{s_{pp}} \approx 80\text{ TeV}$ .

## Partondichten



Glüonen

$x$ : Bruchteil des Protonenimpulses, der in einem Parton steckt.

$Q$ : Impulskala der Partonenkollision.

Valenzquarks

$$\sqrt{s_{\text{parton}_1, \text{parton}_2}} = \sqrt{x_1 \cdot x_2} \sqrt{s_{pp}}$$

Seequarks

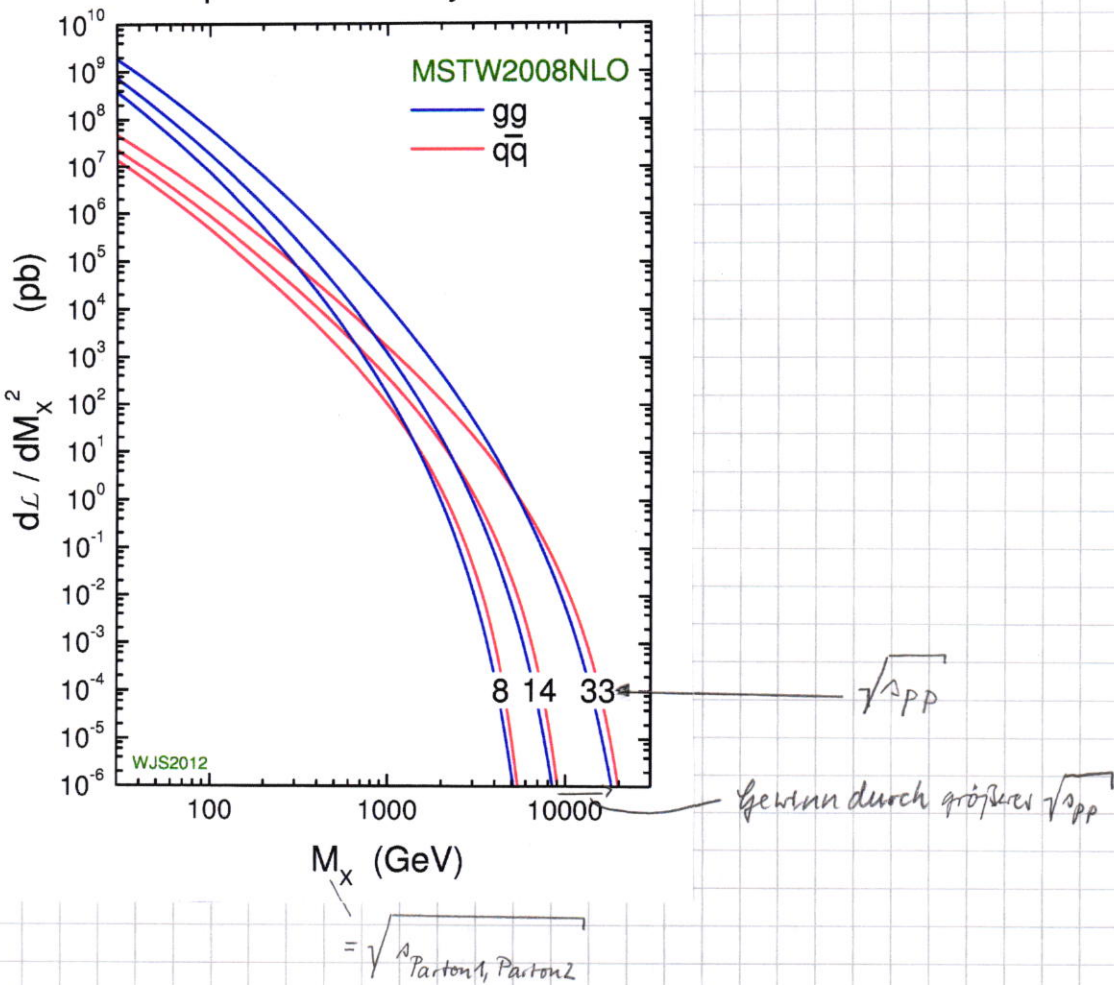
Kollisionen mit  $\sqrt{s_{\text{parton}_1, \text{parton}_2}} \approx \sqrt{s_{pp}}$  selten.

Allgemeine Formel für den Wirkungsquerschnitt für einen Prozess:

$$\sigma_{pp \rightarrow X} = \sum_{a,b=q,g} \int \int \hat{\sigma}_{ab \rightarrow X} \cdot \underbrace{f_a(x_a, Q^2) \cdot f_b(x_b, Q^2)}_{\substack{\text{Wirkungsquerschnitt} \\ \text{des Prozesses auf} \\ \text{Partonraum}}} dx_a dx_b$$

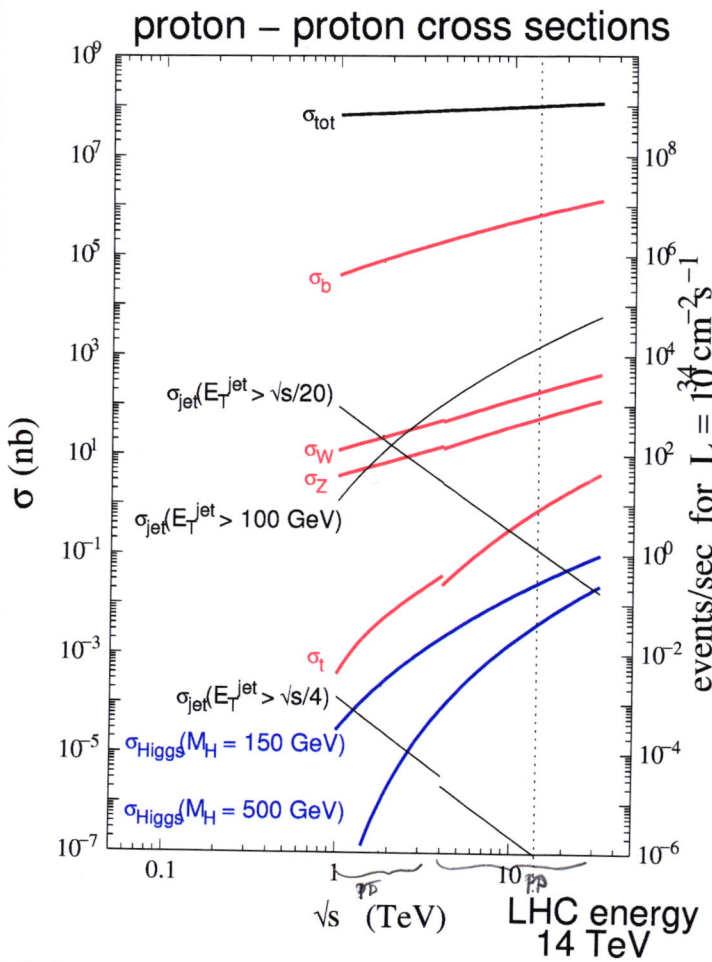
Partonenluminosität

LHC parton luminosity distributions



- Partonenluminositäten nehmen mit  $\sqrt{s_{pp}}$  zu, weil mit zunehmendem  $Q^2$  mehr Seiquarks und Gluonen entstehen.
- Gluonen dominieren bei kleinen Werten von  $\sqrt{s_{\text{Parton1, Parton2}}}$ , weil die Partondichten bei kleinen Werten von  $x$  von Gluonen dominiert werden.

## Wirkungsquerschnitte bei pp-Stößen



- $\sigma$  wächst mit  $\sqrt{s}$
- $\sigma$  für interessante Prozesse wie z.B. die Erzeugung von Flippbosonen sehr klein und viel kleiner als für QCD-Prozesse wie z.B.  $pp \rightarrow b\bar{b}$ .
- ⇒ große pp-Kollisionsraten (große Luminosität) nötig, um auf seltene Prozesse empfindlich zu sein.
- selektive Trigger zur Auswahl interessanter pp-Kollisionen unabdingbar.

## Luminosität und Ereignisrate

$$(\text{Momentane}) \text{ Luminosität: } \mathcal{L} = \frac{n_b f_r n_1 n_2}{A}$$

$n_b$ : Anzahl der Teilchenpakete im Spurketterring.

$f_r$ : Kollisionsfrequenz.

$n_{1,2}$ : Anzahl der Protonen in den kollidierenden Teilchenpaketen.

$A$ : Effektive Fläche der kollidierenden Teilchenpakete.

Ereignisrate:  $\sigma_{pp \rightarrow X} \cdot \mathcal{L}$ .

LHC:  $\mathcal{L} = 1 \cdot 10^{34} \text{ cm}^{-2} \text{s}^{-1}$ , Kollisionen alle 25 ns.

HL-LHC:  $\mathcal{L} = 7,5 \cdot 10^{34} \text{ cm}^{-2} \text{s}^{-1}$ , Kollisionen alle 25 ns.

FCC: Phase 1:  $\mathcal{L} = 5 \cdot 10^{34} \text{ cm}^{-2} \text{s}^{-1}$ , Kollisionen alle 5 m oder alle 25 ns.

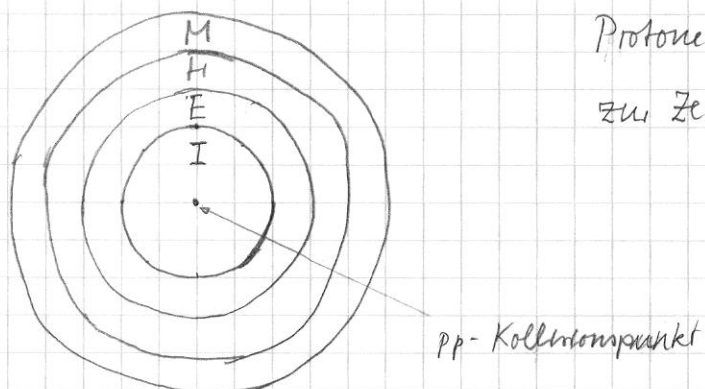
Phase 2:  $\mathcal{L} = 30 \cdot 10^{34} \text{ cm}^{-2} \text{s}^{-1}$ , Kollisionen alle 5 m oder alle 25 ns.

### Allgemeine Struktur eines Teilchendetektors an einem Collider

In einer  $p\bar{p}$ -Kollision erzeugte Teilchen:

- Quarks und Gluonen  $\rightarrow$  Jets aus Hadronen, hauptsächlich aus  $\pi^+, \pi^-, \pi^0$ , d.h.  $\sim \frac{2}{3}$  der Teilchen eines Jets geladen,  $\sim \frac{1}{3}$  elektrisch neutral.  
 $\pi^+, \pi^-, \pi^0$  wegen hohem Impuls quantastabil.
- $e^\pm, \mu^\pm$  (nicht quantastabil).
- $\tau^\pm$  über Zerfallsprodukte nachweisbar.
- $\gamma$ .
- Neutrinos (indirekt über Energie- und Impulsauswahl nachweisbar).
- Potentiell: instabile Teilchen, die nicht im Standardmodell enthalten sind, wie zum Beispiel Teilchen der dunklen Materie.

Nachweis der erzeugten Teilchen mit einem mehrschichtigen, aus Unterdetektoren bestehenden Detektor.



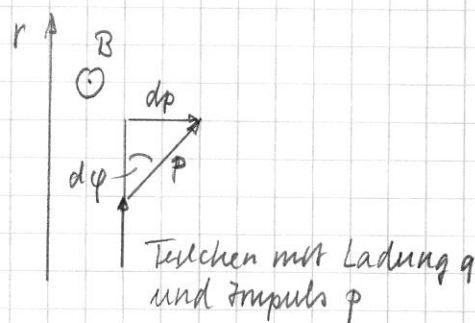
I: Innendetektor zum Nachweis geladener Teilchen  $\rightarrow$  Vertexbestimmung, Impuls- und Ladungsmaßung

E: Elektromagnetischer Kalorimeter zum Nachweis von  $e^\pm, \gamma$  und zur  $e/\gamma$ -Energiedeutung.

M: Myonensystem zur Identifizierung von Myonen.

## Prinzip der Impulsauflösung im Innendetektor

Der Innendetektor befindet sich in einem von einem Solenoid erzeugten Magnetfeld, das parallel zur Protonenstrahlachse verläuft.



$$dp = F \cdot dt = q B \frac{v}{c} dt = q B ds$$

Unendlich maler Ablenkinkel:

$$d\varphi = \frac{dp}{p} = \frac{q}{p} B ds.$$

Ablenkinkel im Abstand  $r$  vom pp-Kollisionspunkt:

$$\varphi(r) = \frac{q}{p} \int_0^r B ds.$$

$r_{\max}$ : Radius des Innendetektors.

$$\varphi := \varphi(r_{\max}).$$

$$\text{Fehlerfortpflanzung: } \delta\varphi = \frac{191}{p^2} \int_0^{r_{\max}} B ds \cdot \delta p = q \cdot \frac{\delta p}{p} \Leftrightarrow \frac{\delta p}{p} = \frac{\delta\varphi}{q}$$

$$\frac{\delta p}{p} = \frac{191}{p} \frac{\delta\varphi}{\int_0^{r_{\max}} B ds}.$$

$$\begin{aligned} \delta\varphi &= \sqrt{\underbrace{(\delta\varphi_{\text{Vielfachstreuung}})^2}_{=\left(\frac{13,6 \text{ MeV}}{p \cdot c} \sqrt{\frac{D}{X_0}}\right)^2} + \underbrace{(\delta\varphi_{\text{Detektorauflösung}})^2}_{=(\delta\varphi_D)^2}} \\ &= (\delta\varphi_D)^2 \end{aligned}$$

Also ist

$$\frac{\delta p}{p} = \frac{13,6 \text{ MeV} \cdot \sqrt{\frac{D}{X_0}}}{191 \int_0^{r_{\max}} B ds}$$

Bestmöglicher Impulsauflösungswert durch das Verhältnis von Vielfachstreuung und Magnetfeldintegral gegeben.

$$\oplus \frac{\delta\varphi_D}{191 \int_0^{r_{\max}} B ds} \cdot p$$

Bei hohen Impulsen (kleinen  $\varphi$ -Werten) Impulsauflösung durch das Verhältnis der Ortsauflösung des Detektors zum Magnetfeldintegral gegeben. Impulsauflösung wird mit wachsendem  $p$  schlechter.

## Energieauflösung unser Kalorimeters

Im elektromagnetischen Kalorimeter elektromagnetische Schauer, im Hadron-kalorimeter Hadronschauer. In beiden Fällen ist die gemessene Energie proportional zur Anzahl  $N_s$  der nachgewiesenen Schauerteilchen.

$$N_s \propto E_{\text{Teilchen}}$$

Also ist

$$\frac{\delta E_{\text{Teilchen}}}{E_{\text{Teilchen}}} = \frac{\sqrt{N_s}}{N_s} = \frac{1}{\sqrt{N_s}} \propto \frac{1}{\sqrt{E_{\text{Teilchen}}}}$$

→ Relativer Energieauflösung wird besser mit wachsender Energie des nachgewiesenen Teilchens.